

06.1; 06.2; 06.3

© 1991

ЦИКЛОТРОННЫЙ РЕЗОНАНС
В ЭПИТАКСИАЛЬНЫХ СЛОЯХ $n\text{-ZnCdHgTe}$

А.М. А н д р у х и в, В.И. И в а н о в - О м с к и й,
К.Е. М и р о н о в, Д.И. Ц ы п и ш к а

В последнее время твердые растворы (ТР) $\text{Zn}_x\text{Hg}_{1-x}\text{Te}$ (ЦРТ) - рассматриваются как возможная альтернатива ТР $\text{Cd}_y\text{Hg}_{1-y}\text{Te}$ (КРТ) - основного материала ИК-техники. Это связано со стабилизирующим действием атомов цинка в связях $\text{Hg}-\text{Te}$ и потенциально более совершенной структурой кристаллов в эпитаксиальных слоях (ЭС), полученных в системе ТР ЦРТ [1]. Использование четверных ТР $\text{Zn}_x\text{Cd}_y\text{Hg}_{1-x-y}\text{Te}$ (ЦКРТ), сочетающих в себе свойства ТР КРТ и ЦРТ, создает дополнительные возможности для плавного изменения основных физических параметров материала. Так как в литературе отсутствуют данные по параметрам энергетической зонной структуры ТР КРТ, в настоящей работе мы попытались частично восполнить этот пробел.

В данной работе приводятся результаты исследования энергетического спектра электронов зоны проводимости $n\text{-Zn}_x\text{Cd}_y\text{Hg}_{1-x-y}\text{Te}$ в магнитном поле. Исследовался циклотронный резонанс (ЦР) с использованием методики регистрации изменения фотопроводимости в магнитном поле под действием излучения.

Измерения проводились на лазерном магнитном спектрометре ($\lambda = 294.8 - 96.52 \text{ мкм}$) [2]. Источником излучения служили субмиллиметровые CH_3OH и CH_3OO -лазеры с оптической накачкой CO_2 -лазером. Измерения проводились в геометрии Фарадея ($\vec{q} \parallel \vec{B} \perp \vec{E}$, где \vec{q} - направляющий вектор падающего излучения) в магнитных полях до 6.5 Т при температуре 4.2 К. Во время измерений использовалась постоянная подсветка из области фундаментального поглощения с целью уменьшения влияния возможной неоднородности распределения примесей.

Предметом исследования были ЭС $\text{Zn}_x\text{Cd}_y\text{Hg}_{1-x-y}\text{Te}$, полученные методом жидкофазной эпитаксии. Слои выращивались из растворов, обогащенных теллуром, на подложках CdTe и $\text{Cd}_{0.96}\text{Zn}_{0.04}\text{Te}$ в закрытой системе. Выращенные слои имели зеркально гладкую поверхность. Толщина составляла 10–20 мкм. Состав образцов контролировался методом количественного рентгеноспектрального микронализа (КРСМА). После эпитаксии слои имели р-тип проводимости. Отжиг в насыщенных парах ртути дал возможность инвертировать тип проводимости образцов и получить концентрацию электронов по данным холловских измерений в пределах $2-3 \cdot 10^{14} \text{ см}^{-3}$ при 77 К.

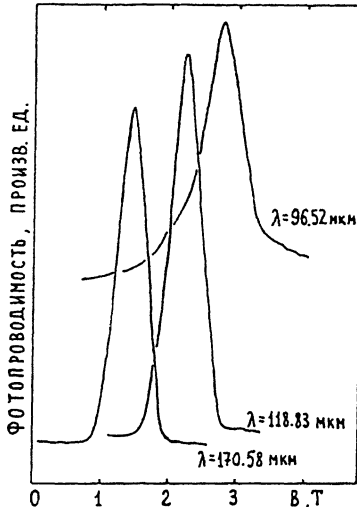


Рис. 1. Спектры фотопроводимости образца А-207, записанные при $T = 4.2 \text{ К}$.

На рис. 1 приведены спектры фотопроводимости ($\Phi\pi$) образца А-207 для различных длин волн. Величина электрического поля при этом составляла $E=0.4 \text{ В}\cdot\text{см}^{-1}$. В спектрах наблюдается одна ярко выраженная линия. Зависимость энергии переходов от магнитного поля представлена на рис. 2. Исчезновение переходов при $B=0$ позволяет предполагать, что в данном случае наблюдаются переходы внутри зоны проводимости. Считая, что эти переходы – ЦР, была определена эффективная масса электронов m_e^* и оценена ширина запрещенной зоны E_g . Для подтверждения предложенной идентификации был выполнен расчет положения уровней Ландау в магнитном поле в рамках трехзонной модели Пиджена–Брауна [3] при $k_z=0$ для узкозонных полупроводников. Из условий наилучшей подгонки экспериментально обнаруженных переходов к соответствующим переходам в выбранной модели были определены значения ширины запрещенной зоны E_g и матричного элемента импульса E_p . Нами произведен также расчет значений E_g для четверных составов исходуемых образцов по распространенной методике, применяемой для A^3B^5 -четверных соединений [4]. Согласно [4], ширина запрещенной зоны для четверного соединения E_g (X, Y, Z) может быть интерполирована из соответствующих значений E_g для грайных соединений, из которых сформировано данное четверное соединение:

$$E_g(x,y,z) = \frac{xyE_g(Zn_{1-v}Cd_vTe) + yzE_g(Hg_{1-w}Zn_wTe) + xzE_g(Hg_{1-u}Cd_uTe)}{xy + yz + xz},$$

$$\text{где } u = \frac{1-z+x}{2}, \quad v = \frac{1-x+y}{2}, \quad w = \frac{1-z+y}{2}, \quad x+y+z = 1.$$

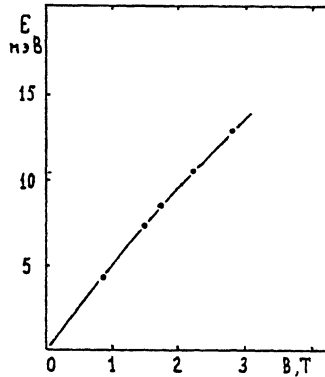


Рис. 2. Зависимость энергии наблюдаемых переходов от магнитного поля для образца А-207 при $T=4.2$ К.

Данные по зависимости E_g от состава и температуры для тройных соединений взяты из [5 - 7]:

$$E_g(Zn_{1-\mu} Cd_\mu Te) = 2.389 - 1.003 \mu + 0.22 \mu^2 - 4.5 \cdot 10^{-4} T, \quad [5]$$

$$E_g(Hg_{1-w} Zn_w Te) = -0.3 + 3.24 \cdot 10^{-2} w^{1/2} + 2.731 w - 0.629 w^2 + \\ + 0.533 w^3 + 5.3 \cdot 10^{-4} T (1 - 0.76 w^{1/2} - 1.29 w), \quad [6]$$

$$E_g(Hg_{1-\mu} Cd_\mu Te) = -0.302 + 4.9 \cdot 10^{-4} T + (1850 - T) \cdot 10^{-3} \mu. \quad [7]$$

Экспериментальные и расчетные значения параметров исследованных образцов приведены в таблице. Принимая во внимание точность КРСМА (~ 0.003 ат. доли), отметим их хорошее совпадение.

Известно, что по ширине линии ЦР можно оценить время релаксации импульса электронов τ ($\tau = 2B_c / \Delta B \cdot \omega_c$, где ΔB – ширина линии ЦР на полувысоте [8]) и определить их подвижность $\mu = e\tau/m_e^*$. Эти данные также приведены в таблице.

В магнитных полях до 2.5 Т „добротность“ ЦР, определяемая из условия $\omega_c \tau \gg 1$, составляла 5.4 и 6.1 для образцов А-205 и А-207 соответственно, что свидетельствует о хорошем качестве исследуемых образцов с точки зрения однородности распределения состава и примесей. В больших магнитных полях ($B > 2.5$ Т) при увеличении энергии переходов наблюдается уширение линий ЦР, а значит, и уменьшение произведения $\omega_c \tau$. Это объясняется тем, что по мере приближения энергии квантов излучения к характерной энергии продольного оптического фонона ($\hbar\omega_{L0} \sim 17$ мэВ) увеличивается вклад механизма рассеивания электронов на фононах, приводящий к уширению линии ЦР.

Обра- зец	Состав	$\pi \cdot 10^{-4}$, см ⁻³	Эксп. E_g , эВ	Расч. E_g , эВ	E_p , эВ	$\frac{m_e^*}{m_0} \cdot 10^2$	$\mu \cdot 10^{-4}$, см ² /В·С
A-205	$Zn_{0.2} Cd_{0.07} Hg_{0.73} Te$	3.0	0.340	0.357	18.1+0.1	2.87	1.9
A-207	$Zn_{0.17} Cd_{0.08} Hg_{0.75} Te$	2.5	0.280	0.299	18.1+0.1	2.39	4.0

Таким образом, с помощью исследования ЦР, который впервые наблюдался в ТР $Zn_x Cd_{1-x-y} Hg_{y} Te$, удалось определить энергетические параметры зонной структуры. При этом оказалось, что характерная энергия (S -р) взаимодействия E_p электронов не отличается от таковой для КР, несмотря на существенное усложнение состава исследуемого соединения, а величина запрещенной зоны согласуется с ожидаемой для четырехкомпонентного соединения в приближении виртуального кристалла.

С п и с о к л и т е р а т у р ы

- [1] Shez A., Shen A., Spicez W., Shih C. // J. Vac. Sci. Tehnol. A. 1989. V. 3. N 1. P. 105-111.
- [2] Голубев В.Г., Гореленок А.Т., Иванов-Омский В.И., Минервин И.Г., Осутин А.В. // Изв. АН СССР. Сер. физ. 1986. Т. 50. В. 2. С. 282-285.
- [3] Pidgeon C., Brown R. // Phys. Rev. 1966. V. 146. N 2. P. 575-585.
- [4] Williams C., Glisson T., Hauser J., Littlejohn M. // J. Electron. Mat. N 7. P. 639-650.
- [5] Берченко Н.Н., Кревс В.Е., Средин В.Г. Полупроводниковые твердые растворы и их применение. М.: Воениздат, 1982.
- [6] Toulouse B., Granger R., Rolland S., Triboulet R. // J. Physique. V. 48. N 2. P. 247-251.
- [7] Dornhaus R., Nimtz G. Springer Tracts in Modern Physics. V. 78. P. 1; NY Springer. 1976. P. 1-120.
- [8] Fubai M., Kawamura H., Sekido K., Imaji I. // J. Phys. Soc. Jap. 1964. V. 19. N 1. P. 30-39.